

**ΔΗΜΟΣ ΒΕΡΟΙΑΣ
Δ/ΝΣΗ ΤΕΧΝΙΚΩΝ ΥΠΗΡΕΣΙΩΝ
ΤΜΗΜΑ ΥΔΡΑΥΛΙΚΩΝ & ΕΓΓΕΙΟΒΕΛΤΙΩΤΙΚΩΝ ΕΡΓΩΝ**

ΓΕΩΤΕΧΝΙΚΗ ΕΚΘΕΣΗ

**ΠΕΡΙΟΧΗΣ ΜΑΥΡΟΔΕΝΔΡΙΟΥ & ΜΑΚΡΟΧΩΡΙΟΥ
ΤΟΥ ΔΗΜΟΥ ΒΕΡΟΙΑΣ
ΠΕΡΙΦΕΡΕΙΑΚΗΣ ΕΝΟΤΗΤΑΣ ΗΜΑΘΙΑΣ**

ΓΙΑ ΤΟ ΕΡΓΟ

**«ΑΓΡΟΤΙΚΗ ΟΔΟΠΟΙΙΑ ΣΤΟ ΑΓΡΟΚΤΗΜΑ ΜΑΥΡΟΔΕΝΔΡΙΟΥ ΚΑΙ
ΜΑΚΡΟΧΩΡΙΟΥ ΤΟΥ ΔΗΜΟΥ ΒΕΡΟΙΑΣ»**

ΒΕΡΟΙΑ ΟΚΤΩΒΡΙΟΣ 2017

Περιεχόμενα

Σελ.

1. ΕΙΣΑΓΩΓΗ	3
1.1 Αντικείμενο – Σκοπός Μελέτης – Μεθοδολογία	3
1.2. Γεωγραφική Θέση – Στοιχεία Έργου.....	3
2. ΓΕΩΜΟΡΦΟΛΟΓΙΚΑ ΣΤΟΙΧΕΙΑ	4
3. ΓΕΩΛΟΓΙΚΑ - ΓΕΩΤΕΚΤΟΝΙΚΑ ΧΑΡΑΚΤΗΡΙΣΤΙΚΑ.....	5
3.1. Γενικά Στοιχεία	5
3.2. Γεωλογία περιοχής	8
3.3. Τεκτονικά στοιχεία	9
3.3.1. Τεκτονική δομή περιοχής Βόρειας Ελλάδας.....	9
3.3.2. Τεκτονικά στοιχεία περιοχής	9
4. ΚΛΙΜΑΤΟΛΟΓΙΚΑ – ΜΕΤΕΩΡΟΛΟΓΙΚΑ ΣΤΟΙΧΕΙΑ	111
5. ΥΔΡΟΛΟΓΙΑ – ΥΔΡΟΓΕΩΛΟΓΙΑ	14
5.1. Υδρολογικά στοιχεία	14
5.2. Υδρογεωλογικά στοιχεία	14
6. ΣΕΙΣΜΙΚΑ ΧΑΡΑΚΤΗΡΙΣΤΙΚΑ	15
6.1. Γενικά Στοιχεία	15
6.2. Γεωτεχνική ταξινόμηση εδαφών.....	17
6.3. Ποσοτική σεισμικότητα της ευρύτερης περιοχής.....	18
6.4. Καταγραφή Σεισμών στη Ημαθία.....	20
6.5. Στοιχεία συμπεριφοράς κατασκευών από προηγούμενους σεισμούς.....	22
7. ΣΥΜΠΕΡΑΣΜΑΤΑ - ΠΡΟΤΑΣΕΙΣ	23
8. ΠΑΡΑΡΤΗΜΑ.....	25

1. ΕΙΣΑΓΩΓΗ

1.1 Αντικείμενο – Σκοπός Μελέτης – Μεθοδολογία

Η παρούσα μελέτη αφορά στην παρουσίαση των γεωλογικών – υδρογεωλογικών & γεωτεχνικών χαρακτηριστικών της περιοχής Μαιροδενδρίου (Δημοτικής Κοινότητας Βέροιας – Δημοτικής Ενότητας Βέροιας) και Μακροχωρίου (Δημοτικής Κοινότητας Μακροχωρίου – Δημοτικής Ενότητας Απ. Παύλου) του Δήμου Βέροιας προκειμένου τα στοιχεία αυτής να αξιοποιηθούν για το έργο «Αγροτική οδοποιία στο αγρόκτημα Μαιροδενδρίου και Μακροχωρίου του Δήμου Βέροιας».

Για τη σύνταξη αυτής χρησιμοποιήθηκαν ως τοπογραφικά υπόβαθρα,

- Ο χάρτης ΓΥΣ, κλίμακας 1:50.000,
- Ο χάρτης ΓΥΣ, κλίμακας 1:5.000, και

Για την παρουσίαση των γεωλογικών, γεωτεκτονικών χαρακτηριστικών της περιοχής χρησιμοποιήθηκαν στοιχεία του γεωλογικού χάρτη του ΙΓΜΕ, κλίμακας 1:50.000.

Για την σεισμικότητα και σεισμική επικινδυνότητα της περιοχής λήφθηκαν υπόψη τα στοιχεία του νέου Εθνικού Αντισεισμικού Κανονισμού (Ε.Α.Κ.) 2000, καθώς και στοιχεία σεισμών που εκδηλώθηκαν στην ευρύτερη περιοχή.

Για την υδρογεωλογική κατάσταση της περιοχής λήφθηκε υπόψη η απόφαση της Εθνικής Επιτροπής Υδάτων (ΦΕΚ 182/β/31-1-2014) με την οποία εγκρίθηκε το σχέδιο διαχείρισης των λεκανών απορροής του Υδατικού Διαμερίσματος Κεντρικής Μακεδονίας.

Τέλος λήφθηκαν υπόψη σχετικές μελέτες που εκπονήθηκαν στην ευρύτερη περιοχή, στοιχεία από τη διαθέσιμη βιβλιογραφία και σε συνδυασμό με στοιχεία από τις επιτόπιες παρατηρήσεις στην περιοχή συντάχθηκε το παρόν τεύχος συνοδευόμενο με φωτογραφική τεκμηρίωση και θεματικούς χάρτες.

1.2. Γεωγραφική Θέση – Στοιχεία Έργου

Η περιοχή ενδιαφέροντος βρίσκεται ΑΒΑ του πολεοδομικού συγκροτήματος της Βέροιας και Νότια του οικισμού Μακροχωρίου, από όπου διέρχεται ο προτεινόμενος για ασφαλτόστρωση χαλικοστρωμένος δρόμος και συνδέει τον ασφαλτοστρωμένο Βέροιας – Μέσης με το εσωτερικό οδικό δίκτυο του οικισμού Μακροχωρίου. Ο δρόμος βρίσκεται εξ ολοκλήρου ανάμεσα στην αποστραγγιστική και αρδευτική διώρυγα της περιοχής, είναι εξ ολοκλήρου κατασκευασμένο από φυσικό αμμοχάλικο της περιοχής Αλιάκμονα και το συνολικό του μήκος ανέρχεται σε **2.184** μέτρα

Επίσης η περιοχή ενδιαφέροντος βρίσκεται **εκτός** Ζώνης NATURA 2000.

Τα παραπάνω αναφερθέντα στοιχεία απεικονίζονται στους επισυναπτόμενους χάρτες, Ορθοφωτοχάρτη & Γενικού Προσανατολισμού (ΓΥΣ) σε κλίμακα 1:50.000.

2. ΓΕΩΜΟΡΦΟΛΟΓΙΚΑ ΣΤΟΙΧΕΙΑ

Η περιοχή ενδιαφέροντος τοποθετείται στο πεδινό τμήμα της Ημαθίας και στα ΝΔ περιθώρια της λεκάνης του Αλιάκμονα.

Γενικότερα τα υψόμετρα στην περιοχή κατασκευής του έργου κυμαίνονται περίπου από 44 μέτρα έως 42 μέτρα.

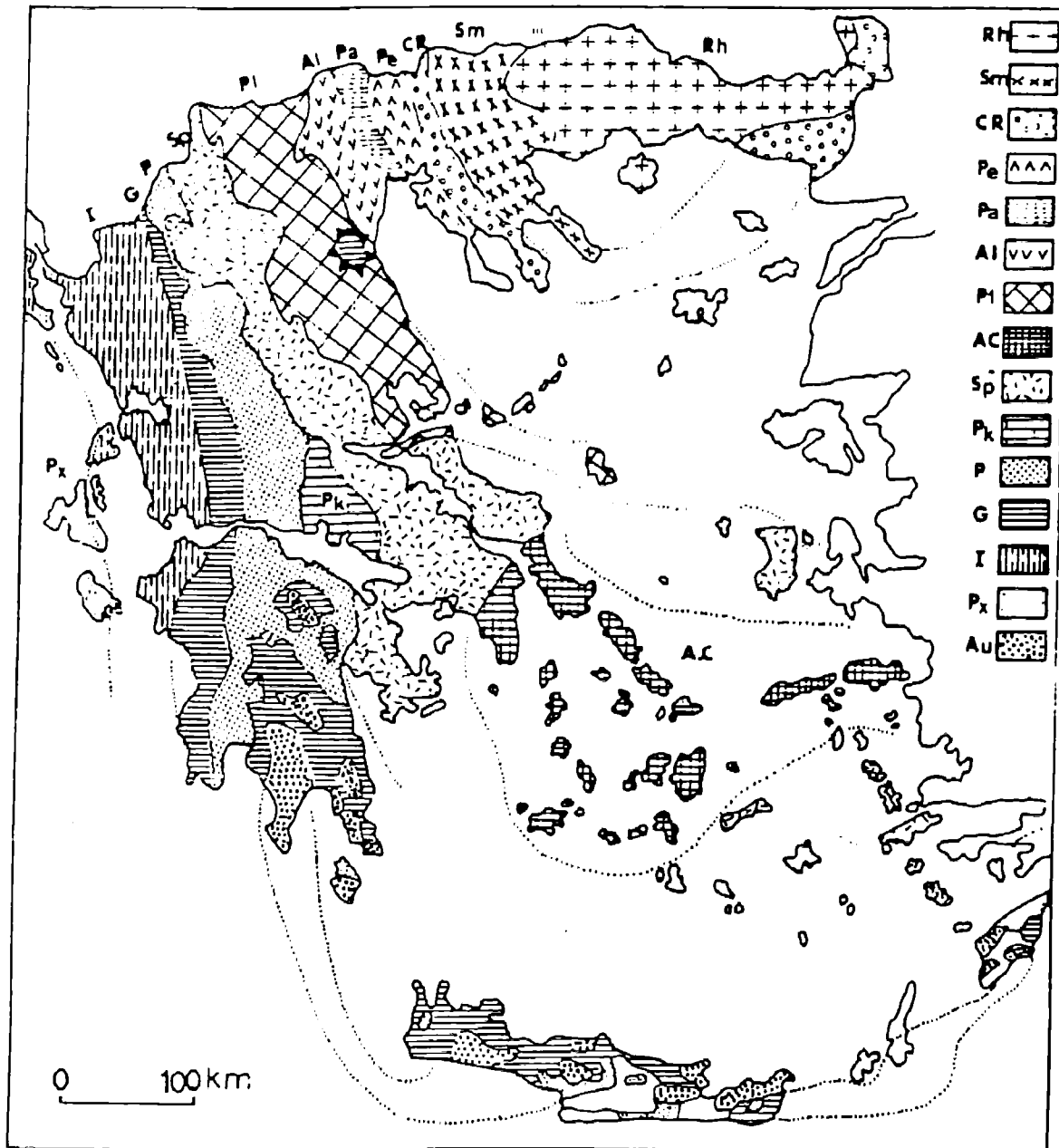
Η γενική διεύθυνση των κλίσεων στην περιοχή είναι από Δ -> Α και ο δείκτης αναγλύφου υπολογίζεται σε $I_r = H_{max} / I = 0,28$ (H =υψόμετρο, I = απόσταση μεταξύ H_{max} και H_{min}) και οι κλίσεις κυμαίνονται περίπου στο 1,3%. Η τιμή του δείκτη ανάγλυφου χαρακτηρίζει περιοχές όπου ο παράγοντας της διάβρωσης του εδάφους εμφανίζεται με πολύ μικρή ένταση.

Σύμφωνα με τα παραπάνω οι μορφολογικές συνθήκες ευνοούν την κατασκευή του προτεινόμενου έργου, χωρίς την εκτέλεση μεγάλου βάθους εκσκαφών, καθώς και στην ομαλή αποστράγγιση των όμβριων υδάτων.

3. ΓΕΩΛΟΓΙΚΑ - ΓΕΩΤΕΚΤΟΝΙΚΑ ΧΑΡΑΚΤΗΡΙΣΤΙΚΑ

3.1. Γενικά Στοιχεία

Γεωτεκτονικά η Ημαθία ανήκει σε δύο λιθοφασικές – τεκτονικές ζώνες. Την Πελαγονική προς Δυσμάς και Αλμωπίας προς Ανατολάς, η οποία αποτελεί τμήμα του ευρύτερου γεωτεκτονικού χώρου της ζώνης Αξιού (εσωτερικές Ελληνίδες).



Γεωτεκτονικό σχήμα των Ελληνίδων ζωνών.

Rh: Μάζα της Ροδόπης, **Sm:** Σερβομακεδονική μάζα, **CR:** Περιροδοπική ζώνη, (**Pe:** Ζώνη Παιανίας, **Pa:** Ζώνη Πάικου, **AI:** Ζώνη Αλμωπίας) = Ζώνη Αξιού, **PI:** Πελαγονική ζώνη, **Ac:** Αττικό-Κυκλαδική ζώνη, **Sp:** Υποπελαγονική ζώνη, **Pk:** Ζώνη Παρνασσού - Γκιώνας, **P:** Ζώνη Πίνδου, **G:** Ζώνη Γαβρόβου - Τρίπολης, **I:** Ιόνιος ζώνη, **Px:** Ζώνη Παξών ή Προαπούλια, **Au:** Ενότητα “Ταλέα όρη - πλακώδεις ασβεστόλιθοι” πιθανόν της Ιονίου ζώνης. (Κατά Mountrakis et al. 1983)

Η Πελαγονική ζώνη αποτελεί μια επιμήκη ζώνη πλάτους 60-80 Km με αξονική διεύθυνση ΒΔ-ΝΑ (η οποία αρχίζει από το Prizren της Γιουγκοσλαβίας και φθάνει μέχρι τις Κυκλαδες), και συνίσταται από το κρυσταλλοσχιστώδες υπόβαθρο και δύο μεσοζωικών επικαλυμμάτων, αυτό της Κοζάνης και της Λοκρίδος – Κεν. Εύβοιας.

Η ζώνη Αξιού εκτείνεται ανατολικώς και κατά μήκος της Πελαγονικής ζώνης και ορίζεται τόσο από την γεωγραφική όσο και από την τεκτονική της θέση μεταξύ της Πελαγονικής ζώνης Δυτικά και της Σερβομακεδονικής ζώνης Ανατολικά.

Είναι ζώνη με χαρακτήρες παλιάς ωκεάνιας περιοχής με χαρακτηριστική εξάπλωση μεγάλων οφιολιθικών μαζών. Χαρακτηριστικό της ζώνης Αξιού, εκτός από την παρουσία οφιολίθων, είναι η εκδήλωση ηφαιστειότητας. Επίσης αποτελείται από σχιστόλιθους, φυλλίτες, μάρμαρα, κερατόλιθους, ψαμμίτες και ασβεστόλιθους.

Η ζώνη Αξιού διακρίνεται σε τρείς ζώνες: Παιονίας, Πάικου και Αλμωπίας βάση του παλαιογραφικού τους χαρακτήρα. Το βασικό κριτήριο της διαίρεσης είναι ότι στη ζώνη του Πάικου παρατηρείται μια παχιά νηριτική σειρά, ηλικίας Ιουρασικού, η οποία δείχνει ότι η περιοχή του Πάικου ήταν υποθαλάσσια ράχη με ρηχή θάλασσα, πιθανών λόγο της ύπαρξης ενός ενδοωκεάνιου νησιώτικου ηφαιστειακού τόξου, ενώ στις ζώνες Παιονίας και Αλμωπίας τα αντίστοιχα ιζήματα του Ιουρασικού είναι βαθιάς θάλασσας αργιλικά και κερατολιθικά.

Η διαίρεση αυτή σε τρεις ζώνες έγινε κατά την αλπική ιζηματογένεση ενώ το υπόβαθρο της ζώνης παραμένει αδιαίρετο και αποτελείται από μεταμορφωμένα πετρώματα, όπως, γνεύσιους, μαρμαρυγιακούς σχιστόλιθους, χαλαζιακούς – χλωριτικούς σχιστόλιθους και μικρογρανιτικές & πηγματιτικές παρεμβολές, συχνά συμπτυχωμένα με αλπικά ιζήματα.

Το πεδινό τμήμα του νομού, το οποίο καταλαμβάνει και την μεγαλύτερη σχεδόν έκταση, καλύπτεται από Μεταλπικά ιζήματα (*Μειόκαινο – Ολόκαινο*) τα οποία διαμορφώνουν την εκτεταμένη εύφορη πεδιάδα της Ημαθίας.

Οι μεταλπικοί γεωλογικοί σχηματισμοί της ζώνης Αξιού παρουσιάζουν μεγάλη εξάπλωση, καλύπτουν τους αλπικούς σχηματισμούς περιορίζοντάς τους σε έκταση εμφάνισης.

Τα Νεογενή ιζήματα έχουν μεγάλο πάχος και διακρίνονται σε ιζήματα λιμναίας, πτοταμολιμναίας και χερσοποτάμιας φάσης. Έχουν στρωματογραφική συνέχεια και περιγράφονται παρακάτω από τα παλαιότερα προς τα νεότερα.

- Σειρά ερυθρών αργίλων, η οποία αποτελεί τη βάση των άνω Μειοκαινικών αποθέσεων της ζώνης Αξιού, αποτελούμενη από ερυθρούς πηλούς και κεραμόχρωμους αργίλους με ασβεστιτικά συγκρίματα και απολιθώματα θηλαστικών.

Η σειρά συνιστά τη χαμηλή λοφώδη περιοχή που αναπτύσσεται ανάντη από την οδό Θεσ/νίκη – Χαλκηδόνα .

- Ψαμμιτομαργαϊκή σειρά, πάχους άνω των 600 μέτρων, ηλικίας Άνω Μειόκαινου και κάτω Πλειόκαινου, αποτελούμενη από δύο διαδοχικούς γεωλογικούς ορίζοντες. Ο κατώτερος αποτελούμενος από κίτρινες έως λευκοκίτρινες μάργες με απολιθώματα θηλαστικών και λεπτές ενστρώσεις άμμων και ψαμμιτών και ο κατώτερος ορίζοντας αποτελούμενος κιτρινόφαιες έως γκριζοκίτρινες μάργες με απολιθώματα θηλαστικών, καθώς και από ψαμμίτες και κροκαλοπαγή με διασταυρούμενες ενστρώσεις. Η σειρά εμφανίζει μεγάλη εξάπλωση στη λεκάνη απορροής του π. Αξιού.

- Ασβεστοσβεστομαργαϊκή σειρά, ηλικίας κάτω Πλειόκαινου, αποτελούμενη από ερυθρόχρωμους ασβεστόλιθους οι οποίοι διακόπτονται από στρώματα λευκοκίτρινων μαργών. Αναπτύσσεται στις ΝΑ απολήξεις του Πάικου με διεύθυνση ΒΒΔ-ΝΝΑ.

- Κλαστική ιζηματογενής σειρά (ανώτερη σειρά), ηλικίας κάτω Πλειστοκαίνου και άνω Πλειστοκαίνου, αποτελούμενη από στρώσεις κροκαλοπαγών (ασβεστολιθικές, οφιολιφικές ή γρανιτικές κροκάλες), αδρόκοκκους ψαμμίτες και ερυθρόχρωμους αργίλους, καθώς και στρώματα άμμων και κροκαλών. Η σειρά αναπτύσσεται μεταξύ Γιαννιτσών και Γρίβας κατά μήκος των ανατολικών προσβάσεων του Πάικου καθώς και μεταξύ Γουμένισσας και στενών Τσιγγανέ Δερβέν, με διεύθυνση ΒΑ-ΝΔ.

Οι σύγχρονες αποθέσεις, ηλικίας Τεταρτογενούς, αποτελούνται από:

- Αποθέσεις ηλικίας Πλειστόκαινου. Ποταμοχειμάρριες αποθέσεις, που προέρχονται από την αποσάθρωση και εναπόθεση των Νεογενών σχηματισμώντης λεκάνης και ελάχιστα από παλαιότερους σχηματισμούς της λεκάνης (κερατολιθικές ή δολεριτικές κροκάλες). Αποτελούνται από άμμους λεπτόκοκκες έως χονδρόκοκκες, ερυθρές αργίλους σε λεπτά στρώματα ή αργιλούχες χαλαζιακές άμμους. Το μέσο παχος των ιζημάτων αυτών είναι περίπου 40 μέτρα.

- Αποθέσεις, ηλικίας Ολόκαινου, οι οποίες ταξινομούνται στις παρακάτω κατηγορίες.
- Προσχώσεις κοιλάδων, αποτελούμενες από επάλληλα στρώματα άμμων, χαλικιών, κροκαλών, ιλυών και αργίλων, ενώ οι σύγχρονες αποθέσεις στις κοίτες ποταμών και χειμάρρων από αμμώδεις αργίλους, χάλικες και κροκάλες.

- Λιμναίες αποθέσεις, αποτελούμενες από αμμώδεις αργίλους και ιλύες, στις περιοχές των αποξηραμένων λιμνών της ζώνης Αξιού.

- Ελουβιακοί σχηματισμοί, οι οποίοι καλύπτουν Προαλπικά ή Αλπικά πετρώματα και Πλειστοκαινικά ιζήματα, αποτελούν ενός αγνώστου πάχους σαθρό επιφανειακό μανδύα από ερυθροπηλούς και αμμώδεις αργίλους.

- Αλουβιακά ριπίδια, τα οποία εντοπίζονται στις παρυφές των ορεινών όγκων και συνίστανται από χονδροκλαστικά υλικά (κροκάλες, χάλικες, άμμοι) και λεπτόκοκκα υλικά (άργιλοι).

3.2. Γεωλογία περιοχής

Σύμφωνα με τον παρατιθέμενο γεωλογικό χάρτη (τμήμα φύλλων Βέροιας και Αλεξάνδρειας του ΙΓΜΕ) οι σχηματισμοί που εμφανίζονται στην περιοχή είναι:

- Παλαιά αναβαθμίδα με προχώματα (Pt ΙΙ), ηλικίας Πλειστόκαινου (ανώτατο Βιλλαφράγκιο-Μινδέλιο), που καλύπτεται από άργιλο και ενίστε περιέχει χαλίκια ή ερυθρές αργίλους και αποκολλημένα κροκαλοπαγή. Εμφανίζεται στη περιοχή Λαζοχωρίου (ΝΔ του Μακροχωρίου).
- Κώνοι και χαμηλές αναβαθμίδες στους προβούνους (Pt), ηλικίας Πλειστόκαινου (Βούρμιο), αποτελούμενοι από κροκάλες μεταμορφωμένων πετρωμάτων με συνδετικό υλικό αργιλοαμμώδες χρώματος κοκκινωπού, που καλύπτουν την περιοχή μελέτης.
- Σύγχρονές προσχώσεις (al), ηλικίας Ολόκαινου, που αποτελούνται από άργιλο και αργιλοαμμώδη υλικά με διάσπαρτες κροκάλες και λατύπες, που συναντόνται ΒΑ της περιοχής.

Από υδρογεώτρηση αρδευτική που εκτελέστηκε στο παρελθόν στην ευρύτερη περιοχή του έργου αναφέρονται τα παρακάτω στοιχεία.

Γεώτρηση (Γα): ανορύχθηκε δυτικά του έργου, σε απόσταση περίπου 500 μέτρων, σε βάθος 100 μέτρων. Παρατηρούνται εναλλαγές αργίλων, αργίλων με χάλικες, χαλικιών, κροκάλων – χαλικιών. Ο υδροφόρος ορίζοντας εντοπίζεται σε βάθος άνω των 10 μέτρων.

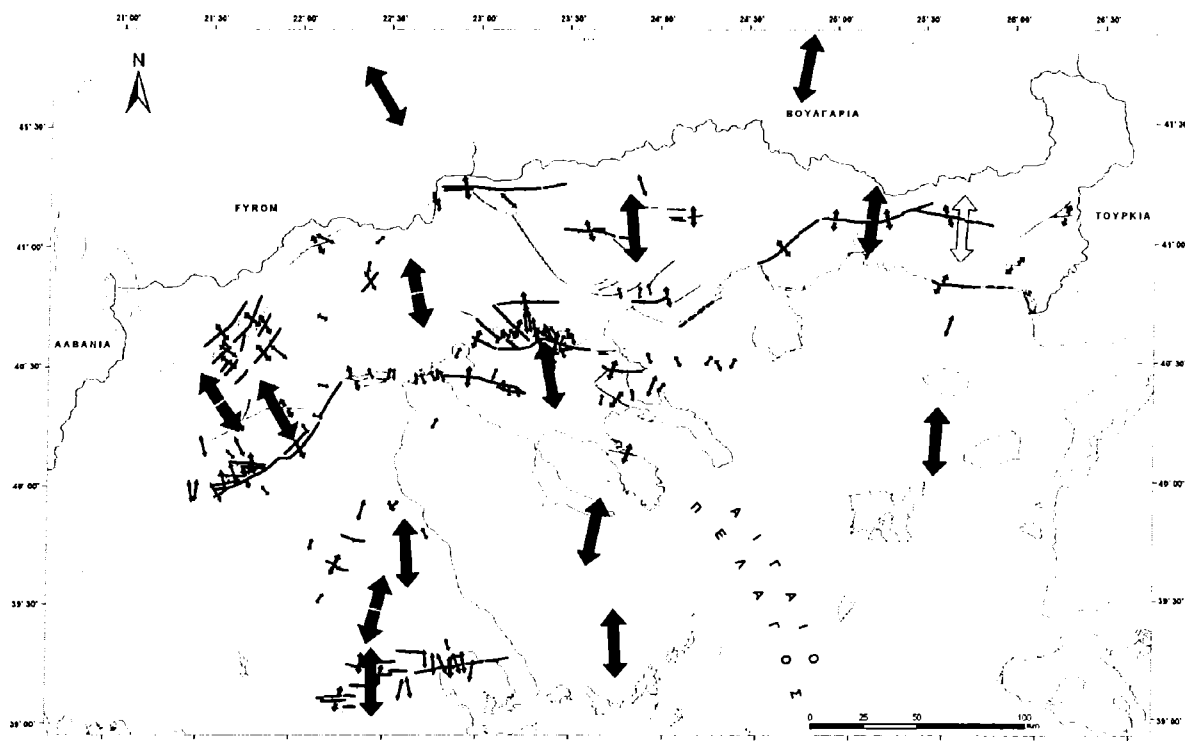
Στο παράρτημα της μελέτης επισυνάπτεται τομή της υδρογεώτρησης.

3.3. Τεκτονικά στοιχεία

3.3.1. Τεκτονική δομή περιοχής Βόρειας Ελλάδας

Τα μεγάλα ρήγματα που δεσπόζουν στον ευρύτερο χώρο της Μακεδονίας παρουσιάζουν τρεις γενικές κατευθύνσεις ανάπτυξης (Mountrakis 2004 , Pavlides & Kilias 1987) ,

- α. ένα μεγάλο μέρος από αυτά έχει κατεύθυνση ΒΔ-ΝΑ έως ΒΒΔ-ΑΝΑ ,
- β. ένα δεύτερο σύστημα έχει διεύθυνση περίπου Α-Δ , έως ΔΒΔ_ΑΝΑ , και
- γ. ένα τρίτο σύστημα έχει κατεύθυνση ΒΑ-ΝΔ έως Β-Ν.

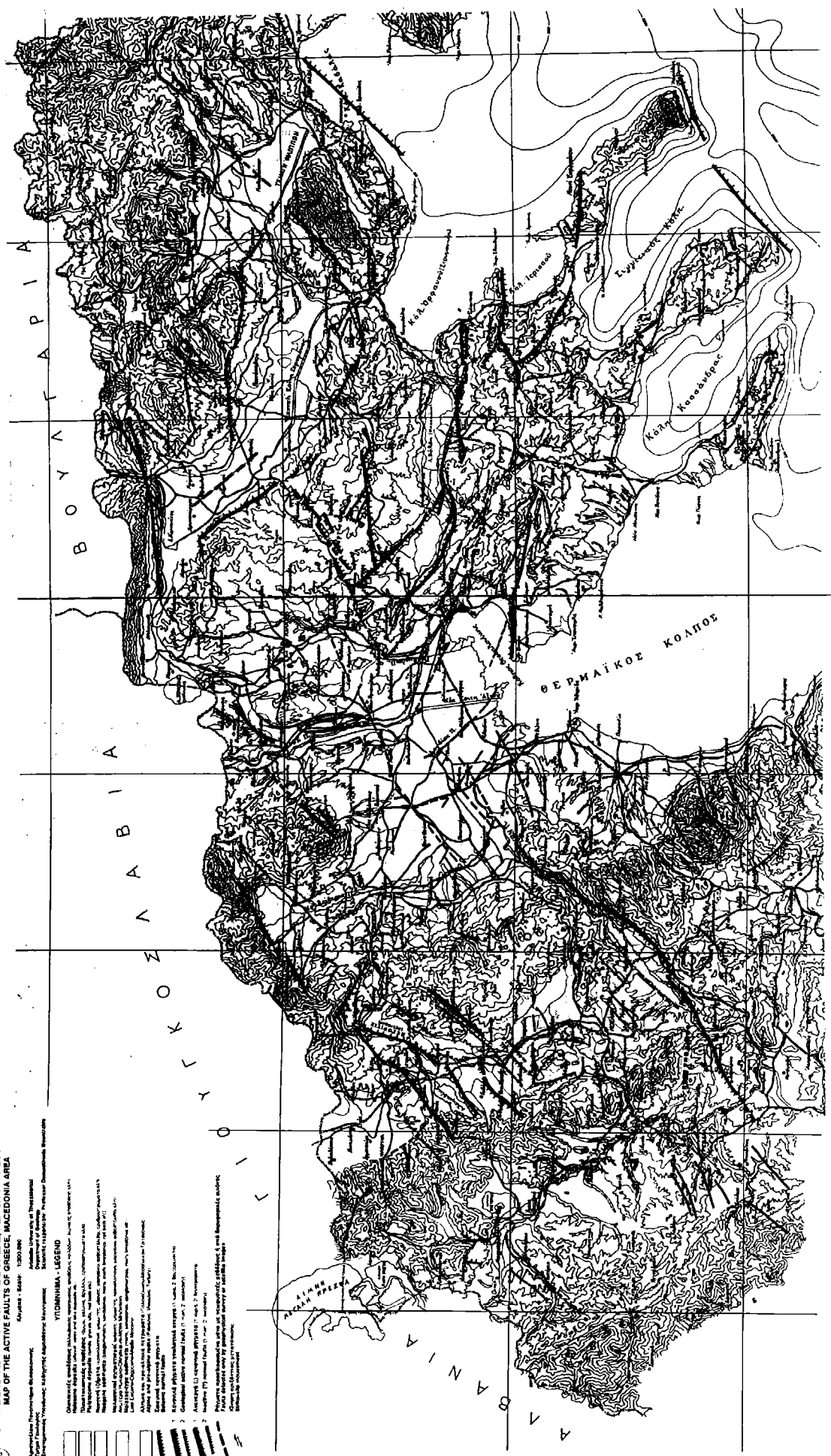


Χάρτης με τα μεγάλα ενεργά ρήγματα του Βόρειου Ελληνικού χώρου και τις διευθύνσεις των εφελκυντικών τάσεων που υπολογίστηκαν από σεισμολογικά δεδομένα (πράσινα βέλη) και από τεκτονικές μετρήσεις (μαύρα βέλη)

3.3.2. Τεκτονικά στοιχεία περιοχής

Από την περιοχή μελέτης δεν διέρχεται καμία εμφανής ρηξιγενή γραμμή ούτε σημειώνεται σε επίσημες γεωλογικές χαρτογραφήσεις. Γενικότερα η περιοχή δέχεται την παραμόρφωση της σύγχρονης ενεργούς τεκτονικής του χώρου της Κεντρικής Μακεδονίας που χαρακτηρίζεται από ένα εκτεταμένο εφελκυστικό πεδίο με δημιουργία κανονικών και πλαγιοκανονικών ρηγμάτων που διαμόρφωσαν τις συνθήκες σχηματισμού των νεογενών και τεταρτογενών λεκανών.

Τα πλησιέστερα ενεργά ρήγματα, σύμφωνα και με τον παρατιθέμενο παρακάτω χάρτη ενεργών ρηγμάτων Μακεδονίας (Μουντράκης 1995) βρίσκονται ανατολικά και ΒΔ της περιοχής, μέσα σε Πλειοκαινικά – Κάτω Πλειστοκαινικά ιζήματα των λεκανών και έχουν διεύθυνση ΒΑ-ΝΔ.



4. ΚΛΙΜΑΤΟΛΟΓΙΚΑ – ΜΕΤΕΩΡΟΛΟΓΙΚΑ ΣΤΟΙΧΕΙΑ

Στη περιοχή λόγω του ορεινού όγκου του Βερμίου και της μικρής απόστασης από τη θάλασσα διαμορφώνεται στην ευρύτερη περιοχή ένα κλίμα που έχει στοιχεία του ηπειρωτικού και του μεσογειακού κλίματος. Το υδρολογικό έτος διακρίνεται σε δύο περιόδους, α) την ψυχρή: Οκτώβριο – Μάρτιο και β) την θερμή: Απρίλιο – Σεπτέμβριο.

Το κλίμα της περιοχής πλησιάζει προς το μεσο-ευρωπαϊκό τύπο. Το καλοκαίρι είναι ζεστό, με τη μέγιστη θερμοκρασία τον Ιούλιο – Αύγουστο και ο χειμώνας είναι ψυχρός με ελάχιστες θερμοκρασίες γύρω στο 0 (και λίγο πιο κάτω). Την άνοιξη έχουμε παγετούς που προκαλούν ζημιές στη γεωργία. Το χειμώνα πέφτει χιόνι ενώ παρατηρούνται και χαλαζοπτώσεις κατά τη θερινή περίοδο.

Εικόνα του κλίματος της περιοχής μπορεί να αποδοθεί από στοιχεία του Μετεωρολογικού Σταθμού Μακροχωρίου που θεωρείται αντιπροσωπευτικός ως ο πλησιέστερος.

Στους παρακάτω πίνακες και ραβδογράμματα παρουσιάζεται, για την περίοδο 2008 -2016,

- η μέση μηνιαία και ετήσια θερμοκρασία του αέρα,
- τα μέσα μηνιαία και ετήσια ύψη βροχής σε χιλιοστόμετρα, και
- η μέση μηνιαία και ετήσια ταχύτητα του ανέμου

ΜΕΣΗ ΜΗΝΙΑΙΑ ΚΑΙ ΕΤΗΣΙΑ ΘΕΡΜΟΚΡΑΣΙΑ ΑΕΡΑ (°C)

Ιαν	Φεβ	Μαρ	Απρ	Μai	Ιουν	Ιουλ	Αυγ	Σεπ	Οκτ	Νοε	Δεκ	Μ.Ο. έτους
6,68	8,16	10,9	15,6	19,6	24,4	27,2	27,5	23,8	16,4	12,7	7,9	16,7

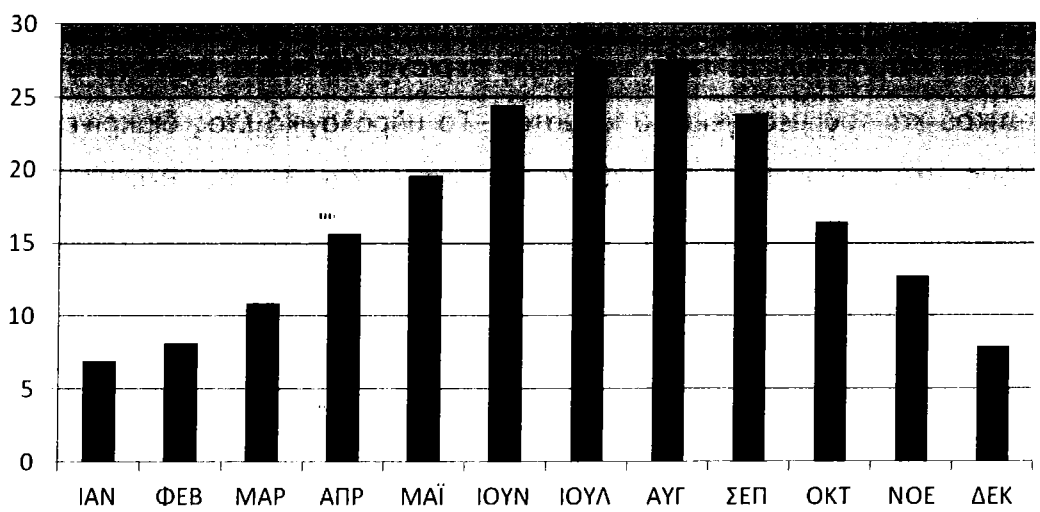
ΜΕΣΗ ΜΗΝΙΑΙΑ ΚΑΙ ΕΤΗΣΙΑ ΥΨΗ ΒΡΟΧΗΣ (mm)

Ιαν	Φεβ	Μαρ	Απρ	Μai	Ιουν	Ιουλ	Αυγ	Σεπ	Οκτ	Νοε	Δεκ	Μ.Ο. έτους
44,4	57,8	68,2	44,0	35,5	39,1	19,1	20,8	60,8	77,7	55,7	71,4	594,5

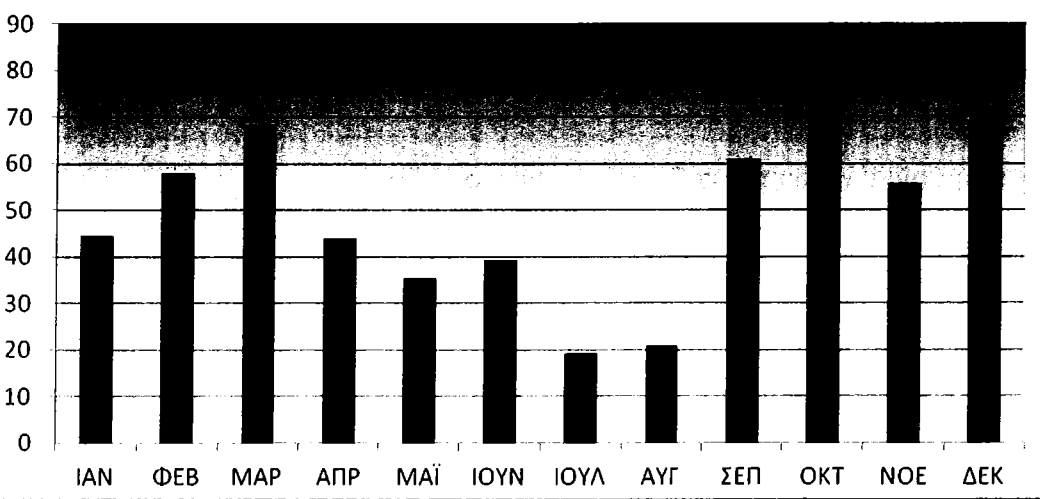
ΜΕΣΗ ΜΗΝΙΑΙΑ ΚΑΙ ΕΤΗΣΙΑ TAXYTHHTA ANEMOU (km/h)

Ιαν	Φεβ	Μαρ	Απρ	Μai	Ιουν	Ιουλ	Αυγ	Σεπ	Οκτ	Νοε	Δεκ	Μ.Ο. έτους
2,8	2,8	3,2	3,3	3,6	3,3	2,5	2,8	3,1	2,8	3,0	2,9	2,7

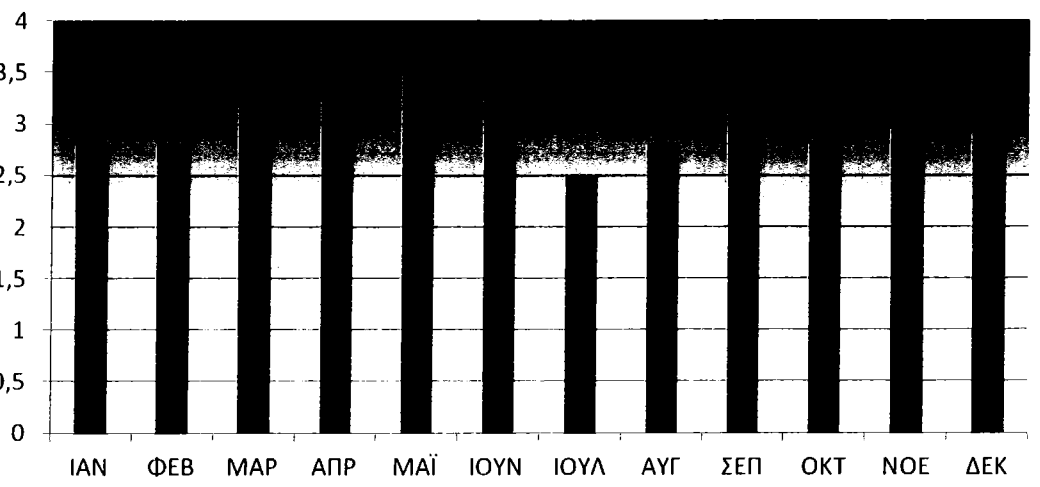
Μέσες μηνιαίες θερμοκρασίες 2008-2016
Σταθμός Μακροχωρίου Βέροιας



Μέσα μηνιαία κατακρημνίσματα 2008-2016
Σταθμός Μακροχωρίου Βέροιας



Μέση μηνιαία ταχύτητα ανέμου 2008-2016
Σταθμός Μακροχωρίου Βέροιας



Από τα παραπάνω στοιχεία προκύπτει ότι στην περιοχή υπάρχει μια κανονικότητα στην διακύμανση της θερμοκρασίας και των κατακρημνισμάτων με εκπεφρασμένη ξηρή περίοδο τον Ιούλιο και Αύγουστο .

Ωστόσο δεν πρέπει να θεωρηθεί και ως πραγματική ξηρή οικολογικά περίοδος , αφού τα διαθέσιμα αποθέματα της περιοχής σε νερό καθορίζονται και από άλλους παράγοντες όπως η αυξημένη υγρασία, λόγω των περισσότερων κατακρημνισμάτων που οφείλονται στο μεγαλύτερο υπερθαλάσσιο υψόμετρο .

Τέλος να αναφερθεί ότι στην ευρύτερη περιοχή δεν παρατηρούνται ακραία κλιματικά φαινόμενα , όπως παρατεταμένες ξηρασίες , παγετοί , θυελλώδεις άνεμοι κ.λ.π.

5. ΥΔΡΟΛΟΓΙΑ – ΥΔΡΟΓΕΩΛΟΓΙΑ

5.1. Υδρολογικά στοιχεία

Η ευρύτερη περιοχή μελέτης ανήκει στην πεδιάδα Θεσσαλονίκης που είναι αλλούβιακής προέλευσης και καλύπτει μια έκταση περίπου 1.800 Km^2 .

Περιβάλλεται από τους ορεινούς όγκους του Πάϊκου, του Βερμίου και των Πιερίων ενώ η ανατολική πλευρά της βρέχεται από τον Θερμαϊκό.

Η περιοχή ενδιαφέροντος, σύμφωνα με τις διαιρέσεις του Ν. 1739/87 «Διαχείριση υδατικών πόρων και άλλες διατάξεις» ανήκει στο υδατικό διαμέρισμα Δυτικής Μακεδονίας (ΚΑ 09), στην Λεκάνη απορροής Αλιάκμονας (ΚΑ 10) και Υπολεκάνη απορροής Αλιάκμονα (ΚΑ 11).

Σε ότι αφορά την επιφανειακή υδρολογία της περιοχής έχουμε ένα καλώς ανεπτυγμένο υδρογραφικό δίκτυο με την εμφάνιση πολλών αποστραγγιστικών δικτύων που καταλήγουν στην Περιφερειακή Τάφρο «66».

Η Π.Τ. «66» κατασκευάσθηκε το έτος 1935, μετά την αποξήρανση της λίμνης των Γιαννιτσών και λειτουργεί ως συλλεκτήρια αποχετευτική τάφρος των επιφανειακών νερών της λεκάνης απορροής. Διέρχεται ΒΑ του Μακροχωρίου και με κατεύθυνση ΒΒΔ-ΝΝΑ καταλήγει στον στον π. Αλιάκμονα, στην περιοχή Κουλούρας.

5.2. Υδρογεωλογικά στοιχεία

Στο πεδινό τμήμα της περιοχής αναπτύσσονται Τεταρτογενούς ηλικίας και πτοταμοχειμάρριες αποθέσεις Πλειστοκαινικής ηλικίας, στα οποία αναπτύσσονται υδροφόροι ορίζοντες ικανού πάχους και σημαντικών παροχών. Η τροφοδοσία τους εξασφαλίζεται από τον ορεινό όγκο του Βερμίου, με τον οποίο έρχονται σε επαφή ΝΔ και από τα ατμοσφαιρικά κατακρημνίσματα με κατακόρυφη διήθηση .

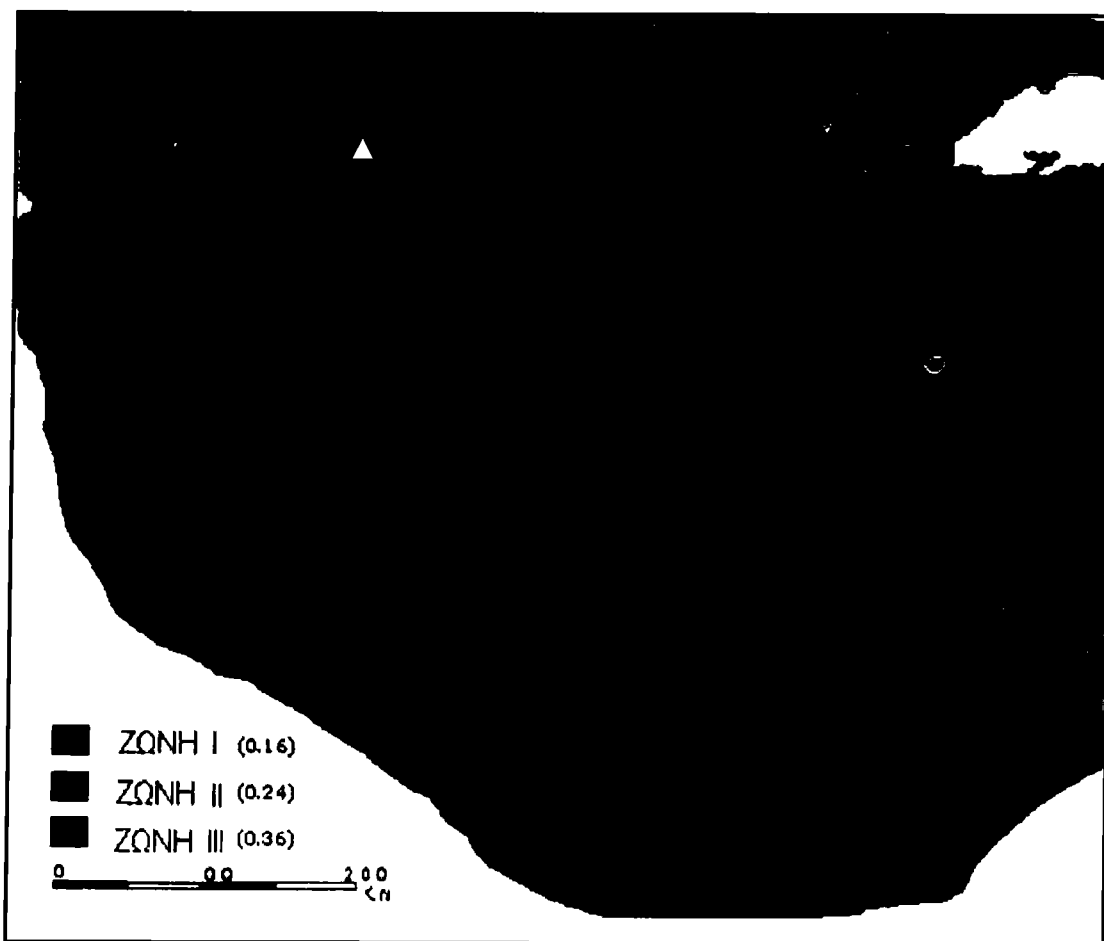
Η υδροφορία αναπτύσσεται σε βάθος άνω των 10 μέτρων και οι αποδόσεις των γεωτρήσεων κυμαίνονται περίπου στα $100 \text{ m}^3/\text{h}$.

Στοιχεία της γεώτρησης που εκτελέστηκε στο παρελθόν στην περιοχή επισυνάπτεται στο παράρτημα της μελέτης.

6. ΣΕΙΣΜΙΚΑ ΧΑΡΑΚΤΗΡΙΣΤΙΚΑ

6.1. Γενικά Στοιχεία

Γενικά η περιοχή της Ημαθίας δεν εντάσσεται στις σεισμογενείς περιοχές αλλά επηρεάζεται από σεισμούς που εκδηλώνονται στην ευρύτερη περιοχή (ζώνες με υψηλή σεισμικότητα) και σύμφωνα με το χάρτη ζωνών σεισμικής επικινδυνότητας που περιέχεται στον Αντισεισμικό Κανονισμό (ΕΑΚ 2000) η περιοχή εντάσσεται στη ζώνη I.



**Σεισμικές Ζώνες και τιμές σεισμικού συντελεστή
Το τρίγωνο με το κίτρινο χρώμα δίνει τη θέση της Ημαθίας**

Ο χάρτης αυτός χωρίζει την Ελλάδα σε τρεις ζώνες με τιμές του σεισμικού συντελεστή **0.16**, **0.24** και **0.36** αντίστοιχα και οι τιμές αυτές αντιστοιχούν σε πιθανότητα υπέρβασης 10% για χρονική διάρκεια 50 ετών.

Αυτός δε προέκυψε από μια τροποποίηση του Νέου Ελληνικού Αντισεισμικού Κανονισμού (ΝΕΑΚ, ΦΕΚ/613/12.10.92) το 1995 για την ένταξη της περιοχής Κοζάνης-Γρεβενών στην τότε ζώνη II, καθώς και από την πρόσφατη Τροποποίηση διατάξεων του «Ελληνικού Αντισεισμικού Κανονισμού ΕΑΚ-2000» λόγω

αναθεώρησης του Χάρτη Σεισμικής Επικινδυνότητας (ΦΕΚ Β 1154/12-8-2003, Απόφαση Αριθ. Δ 17α/9/ΦΝ275)

Σύμφωνα λοιπόν με την Ζώνη Σεισμικής Επικινδυνότητας που εντάσσεται κάθε περιοχή αντιστοιχεί μια τιμή σεισμικής επιτάχυνσης του εδάφους η οποία δίδεται από τον τύπο $A=a.g$ (όπου $g=$ επιτάχυνση βαρύτητας). Δηλαδή για την περιοχή ενδιαφέροντος η οποία „εντάσσεται στην ζώνη I“ όπου ο σεισμικός συντελεστής είναι $a=0,16$ και η σεισμική επιτάχυνση είναι : $A=a^*g = 1,5696 \text{ m/sec}^2$.

Για κάθε μία από τις τρεις κατηγορίες ζωνών οι αναμενόμενες επιταχύνσεις σε συνάρτηση με τη μέση περίοδο επανάληψης δίνονται από τις σχέσεις:

$$\log \gamma_m = 0.277 \text{ Ioat}\Gamma\eta + 1.576 \quad (\text{Κατηγορία I})$$

$$\log \gamma_m = 0.264 \text{ Ioat}\Gamma\tau + 1.736 \quad (\text{Κατηγορία II})$$

$$\log \gamma_m = 0.240 \text{ Ioat}\Gamma\tau + 2.015 \quad (\text{Κατηγορία IM})$$

Συνήθως, ως μέγιστη τιμή μιας παραμέτρου της εδαφικής σεισμικής κίνησης, η οποία δεν πρέπει να προκαλέσει βλάβες ή μπορεί να προκαλέσει μικρές βλάβες εύκολα επισκευάσιμες καθορίζεται εκείνη, η οποία έχει τη μέγιστη πιθανότητα να συμβεί κατά το χρόνο ζωής της κατασκευής (π.χ. $T_m=60$ έτη).

Ως μέγιστη τιμή μιας παραμέτρου της εδαφικής κίνησης η οποία δεν πρέπει να προκαλέσει κατάρρευση της οικοδομής θεωρείται, συνήθως, εκείνη που έχει μεγάλη μέση περίοδο επανάληψης (π.χ. $T_m=1000$ έτη).

Στον παρακάτω πίνακα δίνονται οι τιμές της μακροσεισμικής έντασης I και των δύο παραμέτρων της μέγιστης εδαφικής κίνησης (γ_m , u_m) για τις δύο αυτές σεισμικές κίνησεις, δηλαδή για $T_m=60$ έτη και $T_m=1000$ έτη.

Τέτοιες τιμές δίνονται για κάθε μια από τις τρεις κατηγορίες των ζωνών σεισμικής επικινδυνότητας που παρουσιάζονται στον παρακάτω πίνακα.

Τιμές των παραμέτρων της εδαφικής σεισμικής κίνησης (I, γ_m , u_m) για τις τρεις κατηγορίες σεισμικών ζωνών και για μέσες περιόδους επανάληψης

Ζώνη	α) $T_m = 60$ έτη			β) $T_m = 1000$ έτη		
	I	γ_m (α)	u_m (cm/sec)	I	γ_m (α)	u_m (cm/sec)
I	6,7	0,12	10	8,0	0,26	27
II	7,2	0,16	14	8,5	0,35	40
III	8,1	0,28	29	9,2	0,55	69

Στον πίνακα που ακολουθεί δίνονται οι τιμές της μέγιστης εδαφικής επιτάχυνσης γ_m και της μέγιστης εδαφικής ταχύτητας, u_m , για πέντε τιμές της μακροσεισμικής έντασης.

Γενικά παρατηρείται ότι οι σεισμοί στον Ελληνικό χώρο προκαλούν βλάβες (I>VI) όταν η μέγιστη εδαφική επιτάχυνση υπερβαίνει την τιμή 74cm/sec^2 ($=0,08\text{g}$) και η μέγιστη εδαφική ταχύτητα την τιμή 6cm/sec

**Τιμές της μέγιστης εδαφικής επιτάχυνσης (γ) και
της μέγιστης εδαφικής ταχύτητας (u)
για πέντε τιμές της μακροσεισμικής έντασης**

I	$\gamma (\text{cm/sec}^2)$	$u (\text{cm/sec})$
VI	74	6
VII	138	14
VIII	257	31
IX	479	71
X	891	162

6.2. Γεωτεχνική ταξινόμηση εδαφών

Σύμφωνα με τον ΕΑΚ 2000, τα εδάφη από άποψη σεισμικής επικινδυνότητας κατατάσσονται σε πέντε κατηγορίες Α,Β,Γ,Δ ΚΑΙ X που περιγράφονται στον παρακάτω πίνακα.

Κατηγορίες εδάφους

ΚΑΤΗΓΟΡΙΑ	ΠΕΡΙΓΡΑΦΗ
A	-Βραχώδεις ή ημιβραχώδεις σχηματισμοί εκτεινόμενοι σε αρκετή έκταση και βάθος, με την προϋπόθεση ότι δεν παρουσιάζουν έντονη αποσάθρωση -Στρώσεις πυκνού κοκκώδους υλικού με μικρό ποσοστό ίλυοαργιλικών προσμίξεων πάχους μικρότερου των 70 m -Στρώσεις πολύ σκληρής προσυμπιεσμένης αργίλου, πάχους μικρότερου των 70 m
B	-Εντόνως αποσαθρωμένα βραχώδη ή εδάφη που από μηχανική άποψη μπορούν να εξομοιωθούν με κοκκώδη -Στρώσεις κοκκώδους υλικού μέσης πυκνότητας πάχους μεγαλυτέρου των 5 m. ή μεγάλης πυκνότητας πάχους μεγαλύτερου του 70 m -Στρώσεις σκληρής προσυμπιεσμένης αργίλου πάχους μεγαλύτερου των 70 m
Γ	-Στρώσεις κοκκώδους υλικού μικρής σχετικής πυκνότητας πάχους μεγαλύτερου των 5 m, ή μέσης πυκνότητας πάχους μεγαλύτερου των 70 m -Ιλυοαργιλικά εδάφη μικρής αντοχής, σε πάχος μεγαλύτερο των 5 m
Δ	-Έδαφος με μαλακές αργίλους υψηλού δείκτη πλαστικότητας ($I_p > 50$) συνολικού πάχους μεγαλύτερου των 10 m
X	-Χαλαρά λεπτόκοκκα αμμοϊλιώδη εδάφη υπό τον υδάτινο ορίζοντα, που ενδέχεται να ρευστοποιηθούν (εκτός αν ειδική μελέτη αποκλείσει τέτοιο κίνδυνο, ή γίνει βελτίωση των μηχανικών τους ιδιοτήτων) -Εδάφη που βρίσκονται δίπλα σε εμφανή τεκτονικά ρήγματα βλπ και παργ 5.1.[3] -Απότομες κλιτείς καλυπτόμενες με προϊόντα χαλαρών πλευρικών κορημάτων -Χαλαρά κοκκώδη ή μαλακά ίλυοαργιλικά εδάφη, εφόσον έχει αποδειχτεί ότι είναι επικίνδυνα από άποψη δυναμικής συμπυκνώσεως ή απώλειας αντοχής -Πρόσφατες χαλαρές επιχωματώσεις (μπάζα). Οργανικά εδάφη -Εδάφη κατηγορίας Γ με επικίνδυνα μεγάλη κλίση

Με βάση τα χαρακτηριστικά των σχηματισμών που επικρατούν στην περιοχή ενδιαφέροντος τα εδάφη της περιοχής μπορούν να καταταχθούν στην κατηγορία (Γ).

Επίσης στον παρακάτω πίνακα παρουσιάζονται οι τιμές δύο σημαντικών παραμέτρων για τα έργα, οι τιμές T1 και T2 (χαρακτηριστικές περίοδοι φάσματος).

Τιμές χαρακτηριστικών περιόδων T1, T2 (sec)

Κατηγορία εδάφους	A	B	Γ	Δ
T1	0.10	0.15	0.20	0.20
T2	0.40	0.60	0.80	1.20

6.3. Ποσοτική σεισμικότητα της ευρύτερης περιοχής

Με τον όρο σεισμικότητα μιας περιοχής εννοούμε μια ποσότητα η οποία είναι τόσο μεγαλύτερη όσο μεγαλύτερα είναι τα μεγέθη των σεισμών που γίνονται στην περιοχή και όσο μεγαλύτερη είναι η συχνότητα γένεσής τους (Papazachos, 1990).

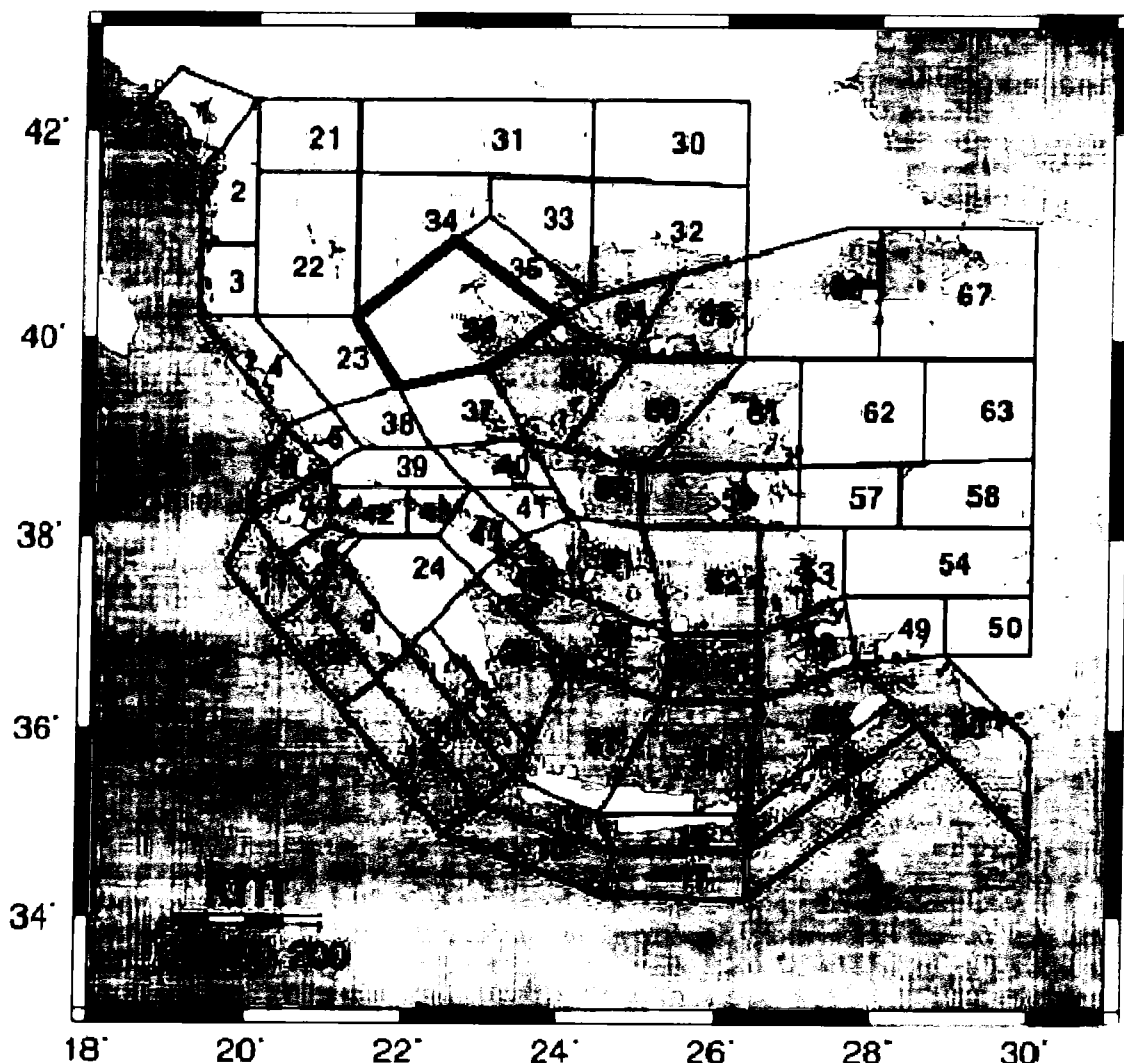
Για τον **ποιοτικό** καθορισμό της σεισμικότητας χρησιμοποιούνται κυρίως χάρτες που δείχνουν την κατανομή των επικέντρων των σεισμών σε μια περιοχή. Απαραίτητη προϋπόθεση για να παρέχει ένας χάρτης επικέντρων αντικειμενική εικόνα της σεισμικότητας είναι το δείγμα των στοιχείων που χρησιμοποιήθηκαν για την κατασκευή του να είναι πλήρες.

Για την **ποσοτική** εκτίμηση της σεισμικότητας μιας περιοχής χρησιμοποιούνται ποσότητες όπως είναι η μέση περίοδος επανάληψης των σεισμών με μεγέθη μεγαλύτερα ή ίσα ενός συγκεκριμένου μεγέθους ή το πιθανότερο μέγιστο μέγεθος κατά τη διάρκεια ενός συγκεκριμένου χρονικού διαστήματος.

Ο Χατζηδημητρίου και οι συνεργάτες του (1994) υπολόγισαν τη **μέση περίοδο επανάληψης σεισμών** με μέγεθος **M≥6.0** για ολόκληρο τον ελληνικό χώρο επειδή το μέγεθος αυτό των σεισμών στον ελληνικό χώρο προξενεί εκτεταμένες καταστροφές στις κατασκευές με αποτέλεσμα και την απώλεια σε ανθρώπινες ζωές (Παπαζάχος και Παπαζάχου 1989, Papazachos and Papazachou, 1997).

Τα αποτελέσματα αυτά έχουν ταξινομηθεί σε έξι κατηγορίες: $T_{6.0}=5-10$ έτη (είναι η κατηγορία με τη μεγαλύτερη σεισμικότητα), $T_{6.0}=10-20$ έτη, $T_{6.0}=20-30$ έτη, $T_{6.0}=50-100$ έτη και $T_{6.0}$ μεγαλύτερη από 100 έτη.

Στην Ελλάδα και στις γύρω περιοχές, με βάση την επιφανειακή σεισμική δράση, διακρίθηκαν 67 σεισμικές ζώνες, όπως φαίνεται και στο παρακάτω σχήμα.



**Καθορισμός ορίων των σεισμικών πηγών (Papaioannou and Papazachos - 2000)
Το κόκκινο πολύγωνο (κωδ. 36), ζώνη Κοζάνης στην οποία εντάσσεται και η Ημαθία**

Επίσης σύμφωνα με τον καθορισμό των ορίων των σεισμικών πηγών (Papaioannou and Papazachos 2000) παρουσιάζονται στους παρακάτω πίνακες (1 & 2) στοιχεία των σεισμικών πηγών και τιμές των παραμέτρων σεισμικότητας για τις σεισμικές πηγές, της ευρύτερης περιοχής ενδιαφέροντος.

Πίνακας 1. Στοιχεία των Σεισμικών Πηγών

ΚΩΔΙΚΟΣ	Όνομα	a	b	M _{max}
31	KRESNA	3.44	0.83	7.2
33	Σέρρες	3.54	0.82	7.0
34	Πτολεμαϊδα	3.76	0.86	6.6
35	Βόλβη	4.04	0.84	7.1
36	Κοζάνη	3.84	0.87	6.6

Στη πρώτη και δεύτερη στήλη δίνεται ο κωδικός και το όνομα της πηγής, στη Τρίτη και τέταρτη στήλη είναι οι σταθερές a και b της σχέσης των Gutenberg και Richter και

στην πέμπτη στήλη δίνεται το μέγιστο μέγεθος σεισμού, M_{max} , της σεισμικής πηγής (Papaioannou and Papazachos, 2000)

Με τη χρήση των τιμών των παραμέτρων σεισμικότητας και εφαρμογή των σχέσεων (3, 4, 5) υπολογίστηκαν τα μέτρα σεισμικότητας για τις σεισμικές πηγές του πίνακα (I) οι οποίες είναι πλησιέστερα στη θέση μελέτης.

Πίνακας 2^{'''}: Τιμές των παραμέτρων σεισμικότητας για τις σεισμικές πηγές του πίνακα 1

Περιοχή	Μέση Περίοδος Επανάληψης			Πιθανότερα Μέγιστα Μεγέθη		
	$M_{6.0}$	$M_{6.5}$	$M_{7.0}$	t_{10}	t_{20}	t_{50}
Kresna	35	90	234	5.3	5.7	6.2
ΣΕΡΡΕΣ	24	62	158	5.5	5.9	6.4
ΠΤΟΛΕΜΑΙΔΑ	25	68	(182)	5.5	5.9	6.3
ΒΟΛΒΗ	10	26	69	6.0	6.4	6.8
ΚΟΖΑΝΗ	24	65	(178)	5.6	5.6	6.4

Παρουσιάζεται η μέση περίοδος επανάληψης σεισμών μεγέθους 6.0, 6.5 και 7.0 για τις σεισμικές πηγές, καθώς και τα πιθανότερα μέγιστα μεγέθη για χρονικά διαστήματα $t=10, 20$ και 50 χρόνια. Οι τιμές μέσα σε παρένθεση, για τη μέση περίοδο επανάληψης σεισμών με μέγεθος $M \geq 7.0$ είναι ενδεικτικές, αφού το μέγιστο μέγεθος για τις ζώνες αυτές είναι μικρότερο των 7.0

6.4. Καταγραφή Σεισμών στη Ημαθία

Σε ότι αφορά σεισμικές δονήσεις που καταγράφηκαν στην Ημαθία την τελευταία περίοδο αναφέρονται τα παρακάτω .

- Σεισμική δόνηση μεγέθους 3,7 βαθμών της κλίμακας Ρίχτερ καταγράφηκε στις 21-2-2007 , 12.11 το μεσημέρι, σε απόσταση 43 χιλιομέτρων δυτικά της Θεσσαλονίκης, κοντά στην **Αλεξάνδρεια** Ημαθίας. Σύμφωνα με το Ινστιτούτο Γεωφυσικής του ΑΠΘ, η δόνηση έγινε αισθητή σε περιοχές της Θεσσαλονίκης, λόγω του μικρού εστιακού της βάθους. Δεν αναφέρθηκαν ζημιές, ενώ σύμφωνα με τους σεισμολόγους, το φαινόμενο χαρακτηρίστηκε ως μεμονωμένο χωρίς να δημιουργεί ανησυχία.
- Σεισμικές δονήσεις συνεχόμενες , στις 24-2-2012 , από τις οποίες η πρώτη έγινε αρκετά αισθητή και οι επόμενες λιγότερο και συγκεκριμένα ,
 - a) Η πρώτη δόνηση έγινε το απόγευμα του Σαββάτου, στις 16:46:58,0 τοπική ώρα (14:46:58,0 UTC) και είχε μέγεθος 4,3. Η δόνηση είχε επίκεντρο 12 km ΝΔ από την **Αλεξάνδρεια** και 2 km Α από την **Κουλούρα** . Το βάθος είναι 2 km και οι ακριβείς συντεταγμένες είναι 40,55 Β και 22,34 Α.

β) Η δεύτερη δόνηση έγινε λίγο αργότερα, στις 17:32:46,1 τοπική ώρα (14:32:46,1 UTC) και είχε μέγεθος 3,2. Το επίκεντρό της εντοπίζεται 12 km N της Αλεξάνδρειας και 1 km Β της Μελίκης. Το βάθος ήταν περίπου 10 km και οι ακριβείς συντεταγμένες είναι 40,53 Β και 22,39 Α.

γ) Η τρίτη δόνηση έγινε λίγο αργότερα, στις 17:38:03,4 τοπική ώρα (14:38:03,4 UTC) και είχε μέγεθος 3,1. Το επίκεντρό της εντοπίζεται 12 km A της Βέροιας και 4 km NA της Κουλούρας. Το βάθος ήταν περίπου 12 km και οι ακριβείς συντεταγμένες είναι 40,52 Β και 22,34 Α.

Κατά την εκδήλωση των παραπάνω τριών δονήσεων δεν αναφέρθηκαν ζημίες, ενώ σύμφωνα με τους σεισμολόγους, το φαινόμενο χαρακτηρίστηκε ως μεμονωμένο χωρίς να δημιουργεί ανησυχία.

Στον παρακάτω χάρτη παρουσιάζεται ιστορικό σεισμών στην ευρύτερη περιοχή Μακροχωρίου (πηγή: Google Earth).



Περίοδος ιστορικού σεισμών, από 12/8/1972 έως 2/7/2013

Μεγέθη σεισμών περιόδου, από 3,1 έως 6,6

Iσχυρότεροι σεισμοί: ABA Θεσ/νίκης - 6,4 R (4/5/1978) & 5,3 R (19/6/1978)

NNΔ Κοζάνης - 5,3R (25/10/1984), 6,6 R (13/5/1995), 5,2R(17/5/1995)

BVA Πτολεμαΐδας - 5,1 R (9/7/1984)

6.5. Στοιχεία συμπεριφοράς κατασκευών από προηγούμενους σεισμούς

Στην Ημαθία γενικότερα οι σεισμοί που εκδηλώθηκαν στην ευρύτερη περιοχή δεν προξένησαν ζημιές στις κτιριακές κατασκευές , εκτός της σεισμικής δόνησης που εκδηλώθηκε στην περιοχή της Κοζάνης – Γρεβενών , στις 13 Μαρτίου 1995, με πρωτοφανή για την περιοχή σεισμική δόνηση 6, 6 βαθμών της κλίμακας Ρίχτερ [ο μεγαλύτερος προσεισμός εκδηλώθηκε 4 λεπτά πριν τον κύριο σεισμό ($M=4,5$) ενώ ο μεγαλύτερος μετασεισμός ($M=5,5$) στις 17 Ιουλίου 1995] , από τον οποίο επλήγησαν σημαντικά οι οικισμοί που αναπτύσσονται στα όρια του Νομού Ημαθίας – Κοζάνης, ΝΔ τμήμα της Ημαθίας, στα Πιέρια Όρη (Δάσκιο, Ριζώματα και Σφηκιά). Από το σεισμό αυτό αναφέρθηκαν σοβαρές ζημιές σε παλαιές κατοικίες ενώ στις νεώτερες κατασκευές ρωγμές στη τοιχοποιία τους .

Σε ότι αφορά τον οικισμό Μακροχωρίου δεν έχει αναφερθεί μέχρι σήμερα πρόκληση ζημιών στις κατοικίες από σεισμούς που εκδηλώθηκαν στην ευρύτερη περιοχή .

7. ΣΥΜΠΕΡΑΣΜΑΤΑ - ΠΡΟΤΑΣΕΙΣ

Συνοψίζοντας τα αναφερθέντα στα προηγούμενα κεφάλαια συμπεραίνονται τα παρακάτω:

- Η περιοχή κατασκευής του έργου ασφαλτόστρωσης του υφιστάμενου αγροτικού δρόμου, μήκους 2.148 μέτρων, στην περιοχή Μαυροδενδρίου – Μακροχωρίου βρίσκεται σε υψόμετρο που κυμαίνεται περίπου από 44 έως 42 μέτρα και βάση των λοιπών γεωμορφολογικών χαρακτηριστικών χαρακτηρίζεται ως πεδινή.
- Οι κλίσεις στην περιοχή είναι πολύ ήπιες, με κατεύθυνση από ΝΔ->ΒΑ, κυμαίνομενες περίπου στο 1,3%, και επιτρέπουν την ομαλή αποστράγγιση των όμβριων υδάτων, η οποία εξασφαλίζεται από τα υφιστάμενα αποστραγγιστικά δίκτυα που αναπτύσσονται στην ευρύτερη περιοχή. Η αντιπλημμυρική προστασία της οδού θεωρείται ικανοποιητική και παρ' ότι οι κλίσεις κατά μήκος του δρόμου είναι ελάχιστες, περίπου 0,1%, με την κατάλληλη μόρφωση των επικλίσεων θα επιτευχθεί η αποχέτευση του οδοστρώματος προς τα αποστραγγιστικά δίκτυα και δεν απαιτείται η κατασκευή άλλων τεχνικών έργων (εγκάρσιων ή διαμήκων).
- Οι γεωλογικοί σχηματισμοί που επικρατούν στην περιοχή (Τεταρτογενείς), είναι γαιώδεις, ευνοούν την κατασκευή του έργου με εκσκαπτικά μηχνήματα και αναμένεται να εκσκαφούν κατά την διαμόρφωση του δρόμου γενικά αμμοαργιλώδη - αργιλοαμμώδη υλικά που περιέχουν χάλικες - κροκάλες. Άλλωστε οι εκσκαφές θα είναι πολύ μικρού βάθους και αφορούν κυρίως στην απομάκρυνση χαλαρών αποθέσεων και τον καθαρισμό αυτού από τις πλευρικές αποθέσεις εδαφικών και φυτικών υλικών προκειμένου να διαμορφωθούν τα γεωμετρικά χαρακτηριστικά του καταστρώματος ενώ από τις επεμβάσεις αυτές δεν αναμένεται η εκδήλωση ασταθών καταστάσεων.
- Υδρογεωλογικά, σύμφωνα με τους γεωλογικούς σχηματισμούς που επικρατούν στην περιοχή (άργιλοι, χάλικες, κροκάλες) και τα στοιχεία της υδρογεώτρησης που εκτελέστηκε στην ευρύτερη περιοχή του έργου, εκτιμάται

ότι ο υδροφόρος ορίζοντας εντοπίζεται σε βάθη άνω των 1δεν 0 μέτρων και υπάρχει κίνδυνος επηρεασμού του έργου.

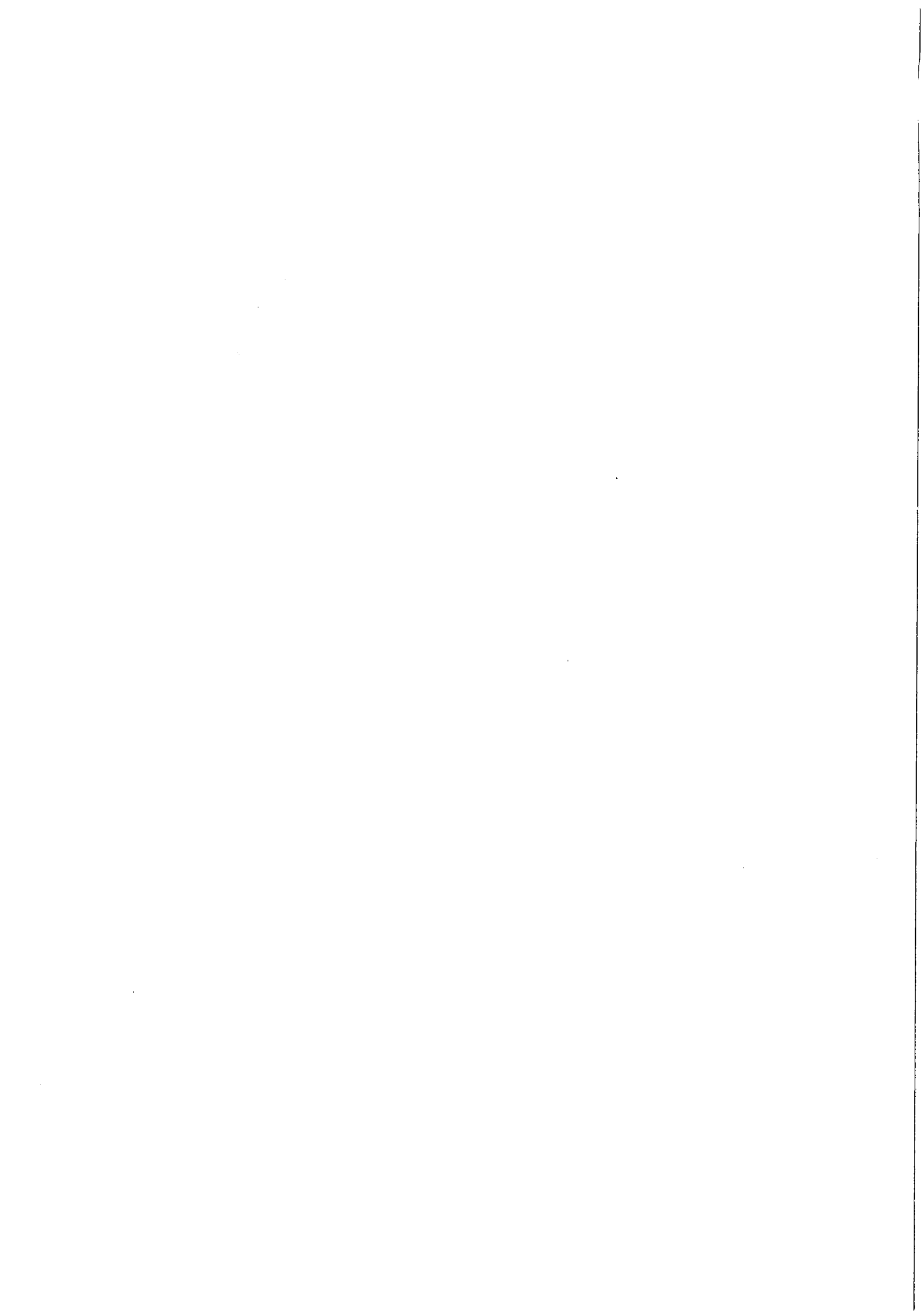
- Σύμφωνα με τα σεισμοϊστορικά και σεισμοτεκτονικά δεδομένα για την περιοχή μελέτης, προκύπτει ότι ο χώρος στον οποίο πρόκειται να κατασκευαστεί το έργο δεν γειτνιάζει με ενεργά σεισμοτεκτονικά ρήγματα. Επίσης από τα δεδομένα της γεωτεχνικής ταξινόμησης των εδαφικών σχηματισμών, προκύπτει ότι δεν υφίστανται κίνδυνος εμφάνισης διατμητικής συνίζησης και δεν συντρέχουν λόγοι για την εκδήλωση ρευστοποιητικών φαινομένων.
- Κατά την εκτέλεση των εργασιών θα ληφθούν όλα τα απαραίτητα μέτρα για την προστασία των εργαζομένων και των διερχόμενων από τον δρόμο ενώ με το πέρας των εργασιών κατασκευής του δρόμου θα γίνουν οι κατάλληλες σημάνσεις (οριζόντιες & κατακόρυφες) για την ασφαλή διέλευση των οχημάτων.

.ΙΩ // ΙΩ / ΡΟΗ

Βέροια Οκτώβριος 2017

Βέροια Οκτώβριος 2017

<p>Ο <u>Συντάκτης</u></p> <p></p> <p>Κηριμκηρίδης Ιωρδάνης Γεωλόγος – Γεωφυσικός Μηχανικός</p>	<p>Ελέγχθηκε 12/10/2017 ΑΝΤΑΡΧΙΜΟΚ Δεωρήθηκε 18/10/2017 Η Προϊσταμένη</p> <p></p> <p>Σιδηροπούλου Στέλλα Αρχιτέκτων Μηχανικός</p>	<p>ΕΛΛΗΝΙΚΗ ΔΗΜΟΚΡΑΤΙΑ ΕΠΑΝΑΣΤΑΤΙΚΗ ΕΠΙΧΕΙΡΗΣΗ ΣΥΝΕΨΥΤΗΣ</p> <p></p> <p>Βουτσιλας Στέφανος Ηλεκτρολόγος Μηχανικός</p>
---	--	---



8. ΠΑΡΑΡΤΗΜΑ

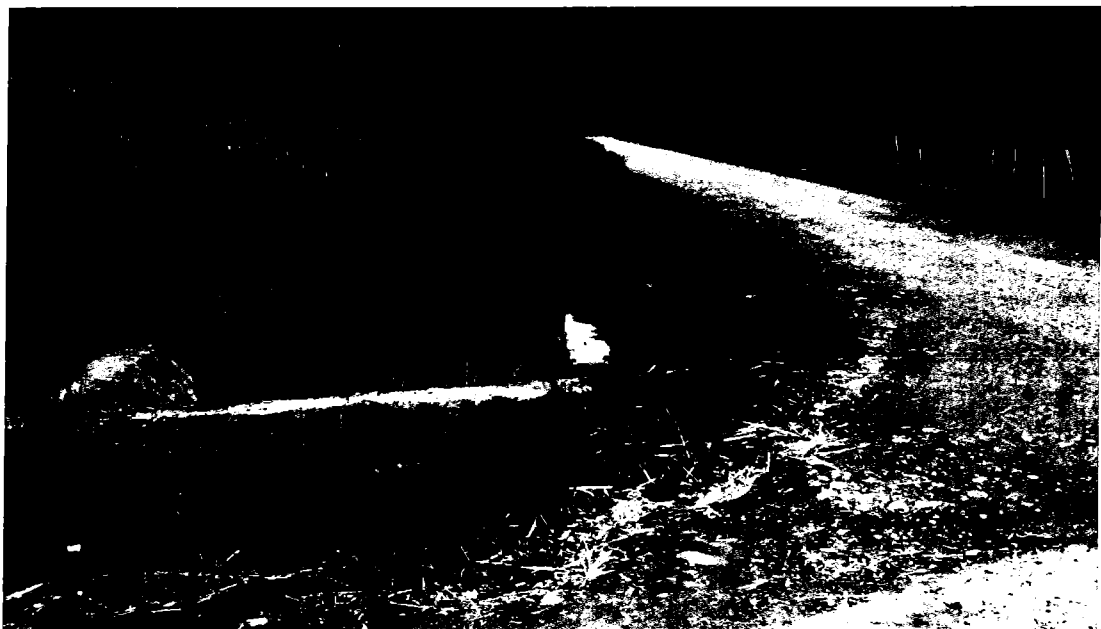
- ΦΩΤΟΓΡΑΦΙΕΣ**
- ΧΑΡΤΕΣ**
- ΤΟΜΗ ΥΔΡΟΓΕΩΤΡΗΣΗΣ**



Φωτο.1. Στο βάθος διακρίνεται η αρχή του προτεινόμενου για ασφαλτόστρωση δρόμου



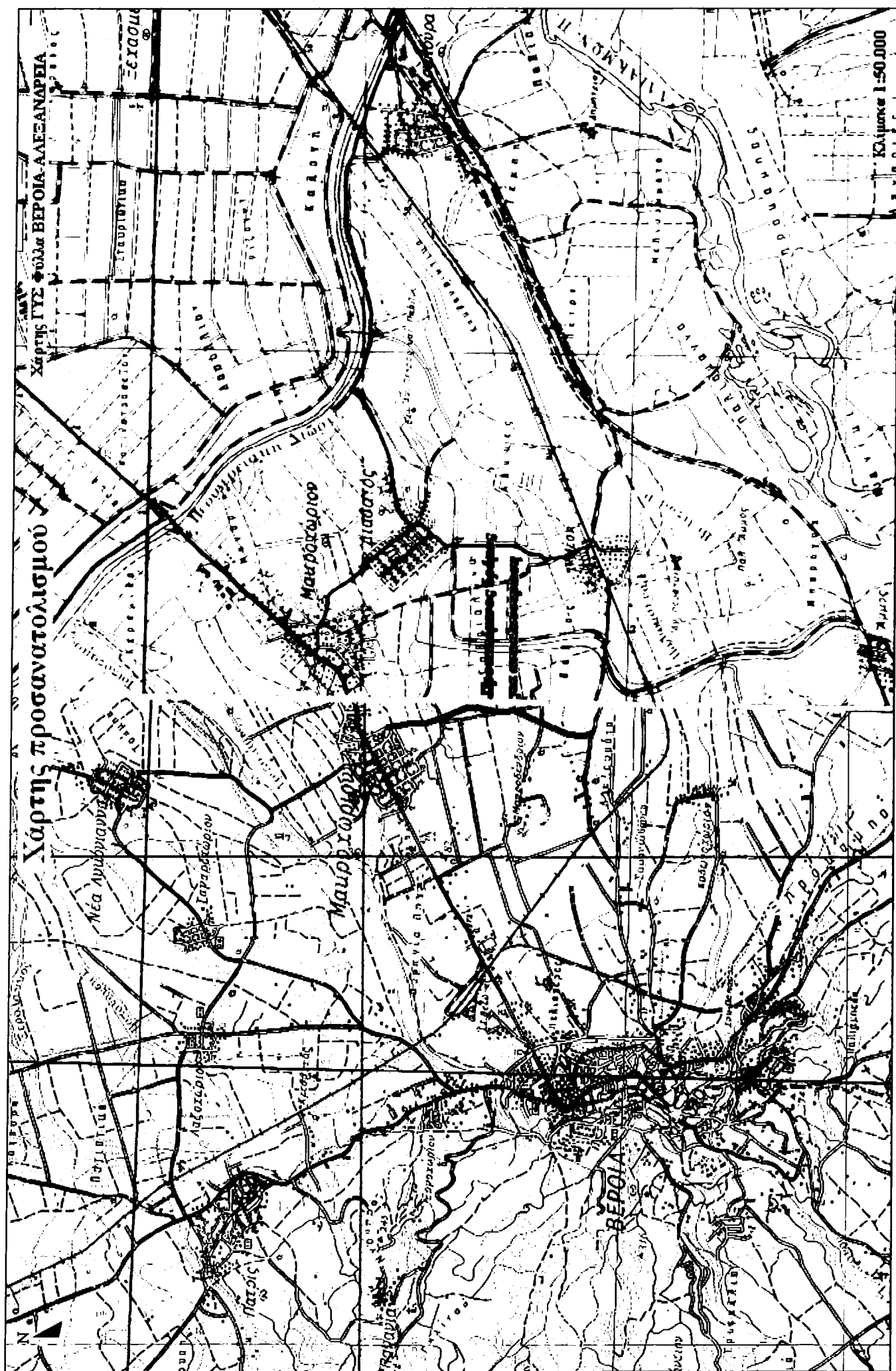
Φωτο.2. Ενδιάμεση άποψη του προτεινόμενου δρόμου, στη δεξιά πλευρά διακρίνεται η αρδευτική διώρυγα



Φωτο.3. Ενδιάμεση άποψη του προτεινόμενου δρόμου, στην αριστερή πλευρά διακρίνεται η αποστραγγιστική αύλακα



Φωτο.4. Στο βάθος διακρίνεται το τέλος του προτεινόμενου για ασφαλτόστρωση δρόμου, που συνδέεται με το εσωτερικό οδικό δίκτυο του οικισμού Μακροχωρίου



Χάρτης ΗΠΕ - Φύλα ΒΕΡΟΙΑ - ΑΓΓΕΑΝΔΡΕΙΑ

N

Σερραία

Επικονιαστικός

Επικονιαστικός

Καρπούζι Δάσος

Λαυρούφαγος

Επικονιαστικός

Επικονιαστικός

Επικονιαστικός

Επικονιαστικός

Κλίμακα 1:25.000

Αγγενή Κέρατη

Γεωλόγος Α. Λεοντίδης

Γεωτρύπος ΕΛΛΙΝΟΣ

Εργατής

Επικαταγμένος

Επαρχία της Αθήνας Καστρί

Πάρκος Γεωτρύπος Δραγούντης Τοποθεσία Οικισμού Μανταράρης

Γεωτρύπος Αναδομής προτεκτονικών δεσμών

Νομός Αθηνών

Περιοχή Πανεπιστημίου Βανδής

138.

Αριθ.

Μπλ.

1072

Γεωτρυπόστης ή αναδομής γύψου τρύπων

ΑΡΙΘΜΟΣ ΕΠΙΧΕΙΡΗΣΗΣ	ΣΥΝΔΡΟΜΗ ΑΝΑΓΩΓΗΣ	ΜΕΤΡΟΣ ΕΦΑΦΗΣ
1000	100μ. μετρητής παρατ.	100
1001	100	100
1002	100	100
1003	100	100
1004	100	100
1005	100	100
1006	100	100
1007	100	100
1008	100	100
1009	100	100
1010	100	100
1011	100	100
1012	100	100
1013	100	100
1014	100	100
1015	100	100
1016	100	100
1017	100	100
1018	100	100
1019	100	100
1020	100	100
1021	100	100
1022	100	100
1023	100	100
1024	100	100
1025	100	100
1026	100	100
1027	100	100
1028	100	100
1029	100	100
1030	100	100
1031	100	100
1032	100	100
1033	100	100
1034	100	100
1035	100	100
1036	100	100
1037	100	100
1038	100	100
1039	100	100
1040	100	100
1041	100	100
1042	100	100
1043	100	100
1044	100	100
1045	100	100
1046	100	100
1047	100	100
1048	100	100
1049	100	100
1050	100	100
1051	100	100
1052	100	100
1053	100	100
1054	100	100
1055	100	100
1056	100	100
1057	100	100
1058	100	100
1059	100	100
1060	100	100
1061	100	100
1062	100	100
1063	100	100
1064	100	100
1065	100	100
1066	100	100
1067	100	100
1068	100	100
1069	100	100
1070	100	100
1071	100	100
1072	100	100
1073	100	100
1074	100	100
1075	100	100
1076	100	100
1077	100	100
1078	100	100
1079	100	100
1080	100	100
1081	100	100
1082	100	100
1083	100	100
1084	100	100
1085	100	100
1086	100	100
1087	100	100
1088	100	100
1089	100	100
1090	100	100
1091	100	100
1092	100	100
1093	100	100
1094	100	100
1095	100	100
1096	100	100
1097	100	100
1098	100	100
1099	100	100
1100	100	100
1101	100	100
1102	100	100
1103	100	100
1104	100	100
1105	100	100
1106	100	100
1107	100	100
1108	100	100
1109	100	100
1110	100	100
1111	100	100
1112	100	100
1113	100	100
1114	100	100
1115	100	100
1116	100	100
1117	100	100
1118	100	100
1119	100	100
1120	100	100
1121	100	100
1122	100	100
1123	100	100
1124	100	100
1125	100	100
1126	100	100
1127	100	100
1128	100	100
1129	100	100
1130	100	100
1131	100	100
1132	100	100
1133	100	100
1134	100	100
1135	100	100
1136	100	100
1137	100	100
1138	100	100
1139	100	100
1140	100	100
1141	100	100
1142	100	100
1143	100	100
1144	100	100
1145	100	100
1146	100	100
1147	100	100
1148	100	100
1149	100	100
1150	100	100
1151	100	100
1152	100	100
1153	100	100
1154	100	100
1155	100	100
1156	100	100
1157	100	100
1158	100	100
1159	100	100
1160	100	100
1161	100	100
1162	100	100
1163	100	100
1164	100	100
1165	100	100
1166	100	100
1167	100	100
1168	100	100
1169	100	100
1170	100	100
1171	100	100
1172	100	100
1173	100	100
1174	100	100
1175	100	100
1176	100	100
1177	100	100
1178	100	100
1179	100	100
1180	100	100
1181	100	100
1182	100	100
1183	100	100
1184	100	100
1185	100	100
1186	100	100
1187	100	100
1188	100	100
1189	100	100
1190	100	100
1191	100	100
1192	100	100
1193	100	100
1194	100	100
1195	100	100
1196	100	100
1197	100	100
1198	100	100
1199	100	100
1200	100	100
1201	100	100
1202	100	100
1203	100	100
1204	100	100
1205	100	100
1206	100	100
1207	100	100
1208	100	100
1209	100	100
1210	100	100
1211	100	100
1212	100	100
1213	100	100
1214	100	100
1215	100	100
1216	100	100
1217	100	100
1218	100	100
1219	100	100
1220	100	100
1221	100	100
1222	100	100
1223	100	100
1224	100	100
1225	100	100
1226	100	100
1227	100	100
1228	100	100
1229	100	100
1230	100	100

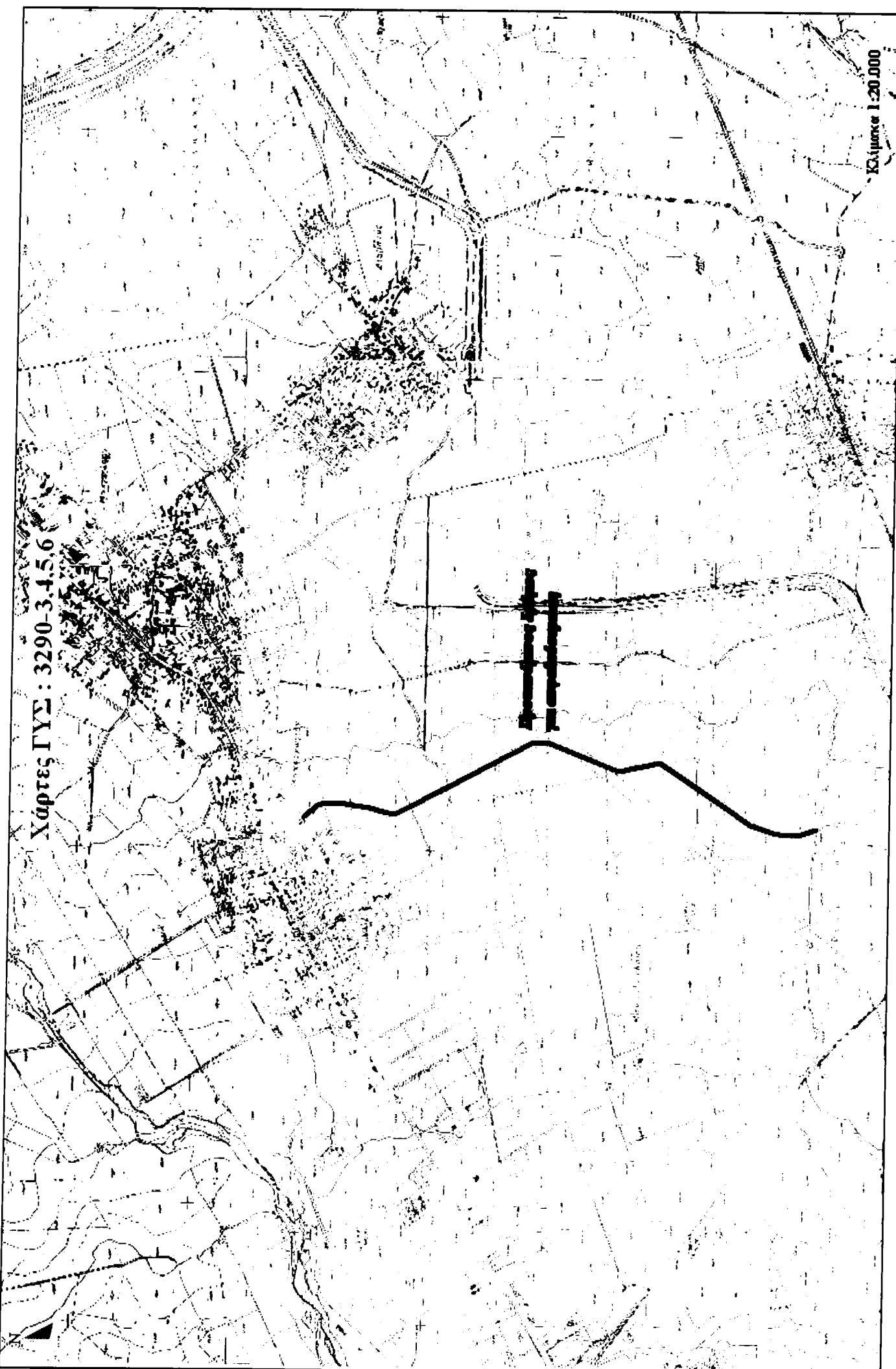
Επιδείξιση στην Α. Λεοντίδη

Α. Λεοντίδης Α. Λεοντίδης

Λ. Λ.

Λ. Λ.

Χάρτες ΓΥΣ : 3290-3.4.5.6



Χάρτης 1:20.000



Απόσπασμα ορθοφωτογραφών